

(460)

## リン酸塩結晶の透過電顕-X線分析装置による元素分析

日本バーカライジング㈱ 技術研究所

○鈴木正教

小鶴隆司

新日本製鐵㈱ 分析研究センター

船木秀一

大坪孝至

## 1. 結言

リン酸塩皮膜を構成する結晶、特に反応初期の結晶に関する種々の情報を得ることは、従来の化学分析、X線回折などでは、極めて困難であった。本実験では、首記の方法を用いて、初期皮膜を構成する個々の結晶の組成を明らかにし、完成皮膜の組成と比較することにより  $P/P+H^{(1)}$  との対応について<sup>(2)</sup> 調査した。なお Fe を含有するホバイトが単独に存在しないことは、経験的に知られており X線回折からいわれているホバイトは、Fe を含まない  $Zn_3(PO_4)_2 \cdot 4H_2O$  として考察した。

## 2. 実験材料

$Zn-Ni-Mn$  系の化成処理液を用いて、プライト仕上げ鋼板上に、リン酸塩処理を施した。

その詳細を Table 1 に示す。

Table 1 Specimen and preparation condition

name	conversion coating	dipping time	coating weight	$P/P+H^*$
15B	initial phosphate	15 sec	0.16 g/m <sup>2</sup>	0.77
120B	standard phosphate	120 sec	3.30 g/m <sup>2</sup>	0.85
100B-H	high zinc phosphate	120 sec	5.83 g/m <sup>2</sup>	0.30

\*1  $P/P+H$  (X ray intensity ratio)  
= phosphophyllite(100)/phosphophyllite(100)+hopeite(020)

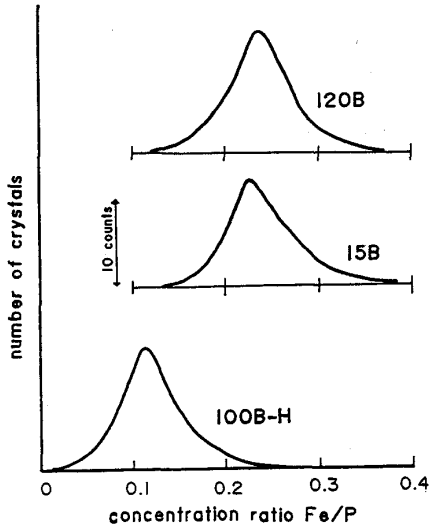
## 3. 実験結果

リン酸塩結晶を抽出するために化成鋼板を折曲げ、抽出レプリカ法を行い TEM-EDX で観察しながら元素分析を行った。各試料の結晶約150個について検出した元素は、P, Fe, Mn, Ni, Znである。Fig. 1. は、得られた元素濃度比、 $Fe/P$  に対して、結晶の数をプロットしたプロファイルである。これらの元素比プロファイルは、120B, 100B-H でも  $Fe/P = 0$  近傍の結晶粒子は、全く認められず、 $P/P+H$  に對応して1本の対称的な分布を示した。また 15B, 120B においては、あまり大きな変化は認められなかった。また各試料の  $P/P+H$  よりホバイト ( $Zn_3(PO_4)_2 \cdot 4H_2O$ )、フォスフォフィライト ( $Zn_2Fe(PO_4)_2 \cdot 4H_2O$ ) の組成式を用いて算出した元素比は、Fig. 1. のプロファイルと良い傾向を示した。(EDX 情報域は、0.1~0.3  $\mu m\phi$  である。)

## 4. 考察

- ① ホバイトの組成式が、Fe を含まない  $Zn_3(PO_4)_2 \cdot 4H_2O$  と仮定すると、鋼板上に析出したリン酸塩皮膜を構成する個々の結晶粒子は、ホバイト及びフォスフォフィライトがそれぞれ数  $100\text{Å}$  以上の単結晶として混在したものである。よってリン酸塩皮膜は、上記の結晶粒子の集合体であると推定される。
- ② 完成結晶粒子は、初期結晶粒子が時間の経過とともに大きくなり、結晶粒子の大きさならびに数が増大したものであり、結晶粒子内のホバイト、フォスフォフィライトの存在割合は、ほとんど変わりがない。したがって、リン酸塩の皮膜特性は、基本的に初期結晶析出までの生成過程によって大きく支配されるものと考えられる。

\*2 Roderickj, Hill and J.B. Jones, American Mineralogist, (1976).61.987  
A. Whitaker, Acta Cryst. (1975).B31.2026

Fig.1. Relationship between concentration ratio  $Fe/P$  and number of crystals.